

(مقاله پژوهشی)

## نهان‌نگاری تصویر دیجیتال با استفاده از ترکیب الگوریتم ژنتیک و روش طیف گسترده در حوزه تبدیل کسینوسی گسسته

سید مجید حسنی اژدری<sup>۱</sup>، آذر محمود زاده<sup>۲</sup>، محمد خویشه<sup>۳\*</sup>، محمدعلی رضایی<sup>۴</sup>

m\_khishe@alumni.iust.ac.ir

۱. دانشجوی دکتری مهندسی برق - مخابرات، دانشگاه آزاد اسلامی واحد شیراز
۲. دکتری مهندسی برق - مخابرات، هیئت‌علمی دانشگاه آزاد اسلامی واحد شیراز
۳. استادیار گروه الکترونیک، دانشگاه علوم دریایی امام خمینی (ره) نوشهر
۴. کارشناسی مهندسی برق - مخابرات، دانشگاه بیرجند

### چکیده

در این مقاله روشی برای پنهان‌سازی سیگنال نهان‌نگاره در یک تصویر خاکستری، با استفاده از ترکیب الگوریتم فراابتکاری ژنتیک و روش طیف گسترده در حوزه‌ی تبدیل کسینوسی گسسته ارائه می‌شود، در ابتدا سیگنال نهان‌نگاره با استفاده از ماتریس هادامارد گسترش می‌یابد که این امر باعث افزایش امنیت و سهولت در بازیابی سیگنال نهان‌نگاره می‌گردد. سپس تصویر به بلوک‌های  $4 \times 4$  تقسیم‌شده و تبدیل کسینوسی گسسته بر روی هر بلوک انجام می‌شود. برای درج سیگنال نهان‌نگاره گسترش‌یافته با استفاده از الگوریتم ژنتیک بلوک‌هایی از کل تصویر انتخاب می‌گردد که بر اساس پارامترهای سنجش NC، PSNR و SIM بهینه‌ست همچنین در هر بلوک انتخابی، مهم‌ترین ضریب AC در جدول کوانتیزه JPEG برای درج سیگنال نهان‌نگاره انتخاب می‌شود. در ادامه برای به دست آوردن حساسیت روش پیشنهادی بر روی ضریب بهره نهان‌نگاری  $\alpha$  آنالیز حساسیتی بر اساس مقدار مختلف  $\alpha$  انجام گرفته و بهترین مقدار آن تعیین می‌گردد. روش پیشنهادی مقاومت مناسبی در برابر حملات عمدی و غیرعمدی، برای چند تصویر نمونه که خواص فرکانسی متفاوتی دارند، نسبت به روش‌های مرسوم انتخاب بلوک‌ها به صورت منظم و تصادفی، از خود نشان می‌دهد.

واژگان کلیدی: تبدیل کسینوسی گسسته، طیف گسترده، نهان‌نگاری دیجیتال، فراابتکاری، الگوریتم ژنتیک.

10.22034/IJMST.2021.39044  
20.1001.1.17355346.1400.25.1.2.2



تاریخ دریافت مقاله : ۹۹/۰۳/۲۲

تاریخ پذیرش مقاله : ۹۹/۰۸/۰۱

صص ۳۳-۱۴

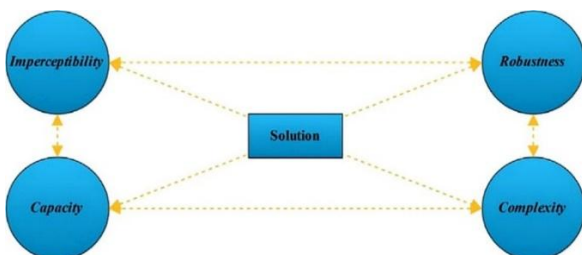
## مقدمه

مقابل کپی غیرمجاز، بانک‌های اطلاعاتی، اثبات مالکیت تصویر و درستی داده و جنگ طیف الکترومغناطیس و غیره اشاره کرد [۱۲-۱۶].

حال سؤال این است که نهان‌نگاری چگونه به جنگ طیف مرتبط می‌گردد؟ در واقع با نهان‌نگاری، اطلاعات سری ما با داده‌هایی که نامربوط به نظر می‌رسند پوشانده می‌شود، بنابراین دشمن حتی متوجه نمی‌شود که ارتباطات مهمی (معمولاً اطلاعات نظامی) در حال انجام است، در نتیجه امنیت ارسال حاصل می‌شود. همچنین، می‌توان از نهان‌نگاری برای جاسازی یک بدافزار در پیام‌های به‌ظاهر ساده یا تصاویر گرافیکی جهت انجام حملات سایبری استفاده کرد. حال اگر نهان‌نگاری به‌طور موفقیت‌آمیز انجام شود، دشمن از این مزیت عملیاتی محروم خواهد ماند [۵].

اگر نهان‌نگاری را در اینترنت جستجو کنید، اطلاعات زیادی از جمله تاریخچه دقیق، نظریه، اقدامات متقابل و نرم‌افزارهای موجود برای عمل و شناسایی آن برمی‌خورید. هدف ما در این مقاله بهره‌مندی از نهان‌نگاری در جنگ الکترونیک (جنگ طیف) می‌باشد به همین دلیل حجم نهان‌نگاره و ارسال امن اطلاعات و پیچیدگی، بیشتر مورد توجه قرار می‌گیرد.

در هر یک از کاربردها، روش نهان‌نگاری بایستی مجموعه‌ای از شروط را برآورده نماید و جوابگوی تعدادی از نیازمندی‌ها باشد. نیازمندی‌ها و شروط نهان‌نگاری در کاربردهای مختلف با یکدیگر متفاوت‌اند. شکل (۱) روابط متقابل الزامات اساسی در نهان‌نگاری را نشان می‌دهد.



شکل (۱) رابطه بین الزامات اساسی نهان‌نگاری [۴]

امروزه با پیشرفت مخبرات داده و شبکه‌های ارتباطی و فضای سایبر به اشتراک گذاشتن اطلاعات چندرسانه‌ای با استفاده از کانال‌های عمومی و دسترسی به آن‌ها به‌آسانی صورت می‌گیرد؛ بنابراین استفاده از ساختاری امن جهت تبادل اطلاعات مهم و محرمانه در این‌گونه کانال‌ها اجتناب‌ناپذیر است. نهان‌نگاری دیجیتال به‌عنوان یکی از محبوب‌ترین روش‌ها برای محافظت از اطلاعات چندرسانه‌ای در یک محیط اشتراکی استفاده می‌شود [۱-۴].

نهان‌نگاری به‌عنوان نوشتار پنهانی تعریف شده و قرن‌هاست که وجود دارد؛ اما با ابداع ارتباطات دیجیتال، این مبحث نیز شکل تازه‌ای پیدا کرده است [۵] و به‌صورت نهان نمودن اطلاعات دیجیتال که نهان‌نگاره نامیده می‌شود به‌صورت غیرقابل رؤیت در یک رسانه‌ی دیجیتال همچون تصویر، فیلم و صوت و متن که پوشش نامیده می‌شود، تعریف می‌گردد [۶-۸]. با استفاده از سیگنال‌های دیجیتال می‌توان به فرصت‌های بسیاری برای پنهان‌سازی اطلاعات به‌صورت داده دست‌یافت.

در مقایسه دو مبحث نهان‌نگاری و رمزنگاری، می‌توان از تفاوت بین امنیت ارسال و امنیت پیام در مسیرهای سیگنال ارسالی استفاده کرد [۵]. در حقیقت فلسفه‌ی نهان‌نگاری اطلاعات این است که پیام را به شکلی مخفی کند که کسی متوجه حضور آن نشود درحالی‌که در رمزنگاری هدف تغییر پیام به شکلی است که برای شخص دیگری نامفهوم باشد و اینکه کسی متوجه پیام بشود یا نه، اهمیتی ندارد. در واقع نهان‌نگاری با پنهان کردن حتی حضور اطلاعات محرمانه در فرایند انتقال از طریق کانال ناامن، در پی افزایش امنیت سیستم ارسال اطلاعات است [۹-۱۱].

از کاربردهای نهان‌نگاری می‌توان به مواردی همچون، ارتباطات پوشیده و پنهان‌سازی داده، محافظت در مقابل جعل و تحریف، محافظت از حق تألیف، محافظت در

[۲۲] روش‌های مبتنی بر بلاک و روش‌های آماری و مبتنی بر ویژگی‌های تصویر [۲۳].

روش‌های حوزه مکان علی‌رغم داشتن مزایای زیادی همچون سادگی پیاده‌سازی، نرخ پیاده‌سازی بالا و شفافیت قابل‌قبول دارای نقاط ضعفی نیز هستند. مهم‌ترین ضعف این روش‌ها مقاومت بسیار پایین آن‌ها در مقابل پردازش‌های تصویری همچون برش، افزودن نویز، تغییر فرمت تصویر و یا چرخاندن تصویر می‌باشد [۱۷] و [۲۴].

بهترین راه‌حل برای این مشکل این است که به‌جای حوزه‌ی مکان، اطلاعات را در داخل لایه‌های بالاتر تصویر همچون فرکانس پنهان نماییم. لذا روش‌های پنهان‌سازی در حوزه‌ی تبدیل همچون تبدیل فوریه گسسته [۲۵-۲۷] و تبدیل کسینوس گسسته [۲۸ و ۲۹] تبدیل موجک گسسته [۳۰] به وجود آمده و گسترش یافتند که پیچیده‌تر و دارای مقاومت بیشتر در مقابل حملات هستند [۱۷]. پنهان‌نگاری بر اساس بلوک‌بندی تصاویر از تکنیک‌های مناسب دیگر هستند که تصویر را بلوک‌بندی کرده و پنهان‌نگاری در این بلوک‌ها انجام می‌گیرد ظرفیت و مقاومت پنهان‌نگاری در این روش در مقایسه با پنهان‌نگاری در کل تصویر افزایش می‌یابد [۷].

در سال‌های اخیر، تعداد زیادی از طرح‌های پنهان‌نگاری تصویر [۲۸-۳۳] معرفی گردیده‌اند. پنهان‌نگاری به روش طیف گسترده از یک مفهوم مخابرات طیف گسترده استفاده می‌کند که در آن یک سیگنال باند باریک در داخل یک سیگنال شبه‌نویز منتقل می‌شود. توانایی این روش در تحمل تداخلات ناخواسته بسیار بالاست. این روش همچنین دارای مزایای امنیت حاصل از رمزنگاری است که بر مبنای کلیدهای استفاده‌شده در تولید رشته‌های شبه تصادفی متعامد مانند رشته‌های گلد، کاسامی و غیره حاصل می‌شود [۳۴ و ۳۵].

این مقاله درباره‌ی پنهان‌نگاری تصاویر دیجیتال ثابت به روش طیف گسترده، در حوزه‌ی تبدیل کسینوسی

در هر کاربرد بخصوص، میزان اهمیت و ضرورت هریک از شروط و نیازمندی‌های اشاره‌شده متفاوت است و ایجاد مصالحه بین این نیازهای متقابل با حفظ میزان اهمیت هرکدام، چالش اصلی در طراحی روش پنهان‌نگاری برای آن کاربرد خواهد بود.

### پیشینه‌ی کار

به‌طور کلی عملیات پنهان‌نگاری شامل دو مرحله می‌باشد. در مرحله‌ی اول اطلاعات موردنظر جهت پنهان‌نگاری بر روی رسانه گنجانده می‌شود و سپس در مرحله‌ی دوم این اطلاعات از رسانه‌ی پنهان‌نگاری شده بازیابی و اطلاعات اصلی استخراج می‌گردد [۱۷]. استخراج می‌تواند با استفاده از همبستگی با پنهان‌نگاره‌ی اصلی و یا مستقل از آن صورت گیرد. واضح است انتخاب روش درج و نحوه‌ی استخراج پنهان‌نگاره به هم وابسته‌اند.

در دهه گذشته، روش‌های مختلفی برای پنهان‌نگاری دیجیتال ارائه‌شده است. این روش‌ها را از نقطه نظرات گوناگون می‌توان دسته‌بندی کرد. مهم‌ترین دسته‌بندی مربوط به انواع روش‌های حوزه جاسازی پنهان‌نگاره است. از این نظر سامانه‌های پنهان‌نگاری را می‌توان به دودسته حوزه مکان (تصویر) و حوزه تبدیل تقسیم‌بندی نمود [۱۷-۱۹].

در روش‌های حوزه‌ی مکان (تصویر)، نهفته‌سازی اطلاعات در تصویر میزان مستقیماً با تغییر میزان شدت روشنایی و یا هیستوگرام تمام یا برخی از پیکسل‌های آن انجام می‌شود [۲۰ و ۲۱]. با توجه به اینکه انتخاب پیکسل‌ها و تغییر شدت روشنایی آن‌ها به طرق مختلف امکان‌پذیر است، لذا روش‌های مختلفی در حوزه‌ی تصویر ارائه‌شده‌اند. سامانه‌هایی که پنهان‌نگاره را در حوزه مکانی تصویر پنهان می‌کنند خود به ۳ روش تقسیم می‌شوند که این سه روش عبارت‌اند از: روش‌های مبتنی بر <sup>1</sup>LSB

<sup>1</sup>. Least Significant Bit

مورد استفاده قرار می‌گیرد پیامی باینری می‌باشد که در موقع بازیابی نیز با همان اندازه‌ی استفاده‌شده در فرایند گنجاندن بازیابی می‌گردد. جهت گنجاندن پیام از روش مبتنی بر طیف گسترده استفاده‌شده است به همین خاطر روش ارائه‌شده از امنیت بالایی برخوردار است.

مقاومت این روش نهان‌نگاری در برابر انواع تغییرات در تصویر به‌خصوص فشردگی‌سازی JPEG با ضریب کیفیت‌های مختلف، اضافه شدن نویزهای ناشی از انتقال در یک کانال مخابراتی، تغییرات هندسی مانند تغییر مقیاس و اندازه‌ی شکل و بریده شدن بخشی از تصویر بررسی می‌شود. همچنین روشی که روش ما را از سایر روش‌ها متمایز کرده استفاده از ماتریس هادامارد در تولید سیگنال طیف گسترده می‌باشد که موجب می‌شود تا در مرحله‌ی بازیابی پیام گنجانده‌شده به‌درستی بازیابی گردد.

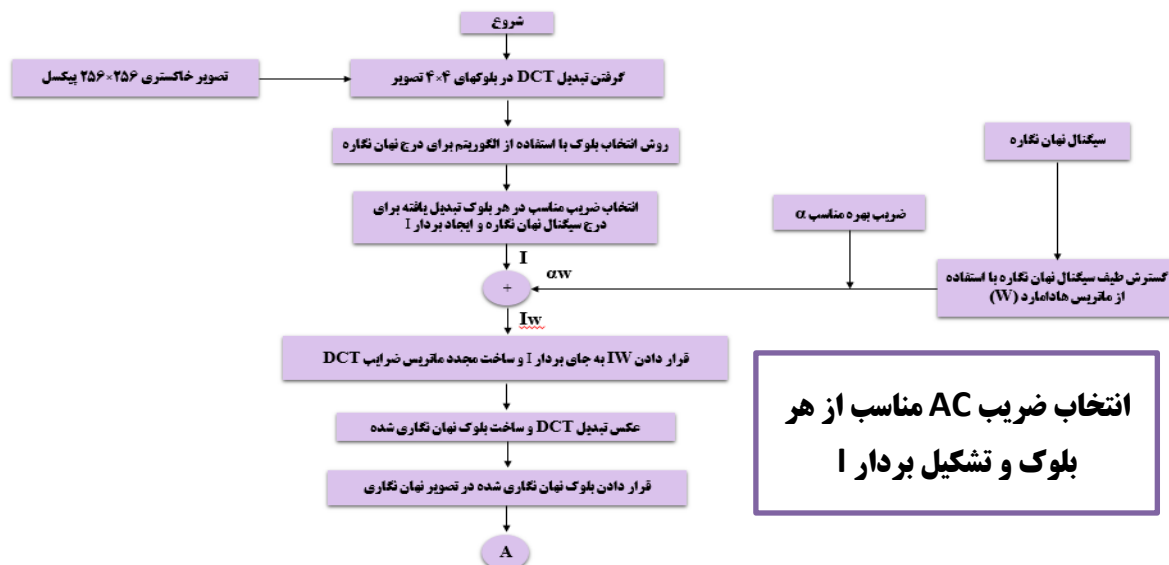
### الگوریتم نهان‌نگاری پیشنهادی

الگوریتم پیشنهادی برای نهان‌نگاری دیجیتال تصویر ثابت به روش طیف گسترده در حوزه‌ی DCT، در شکل‌های ۲ و ۳ نشان داده‌شده‌اند. شکل (۲) روند نمای درج نهان‌نگاره و شکل (۳) روند نمای استخراج آن را نشان می‌دهد.

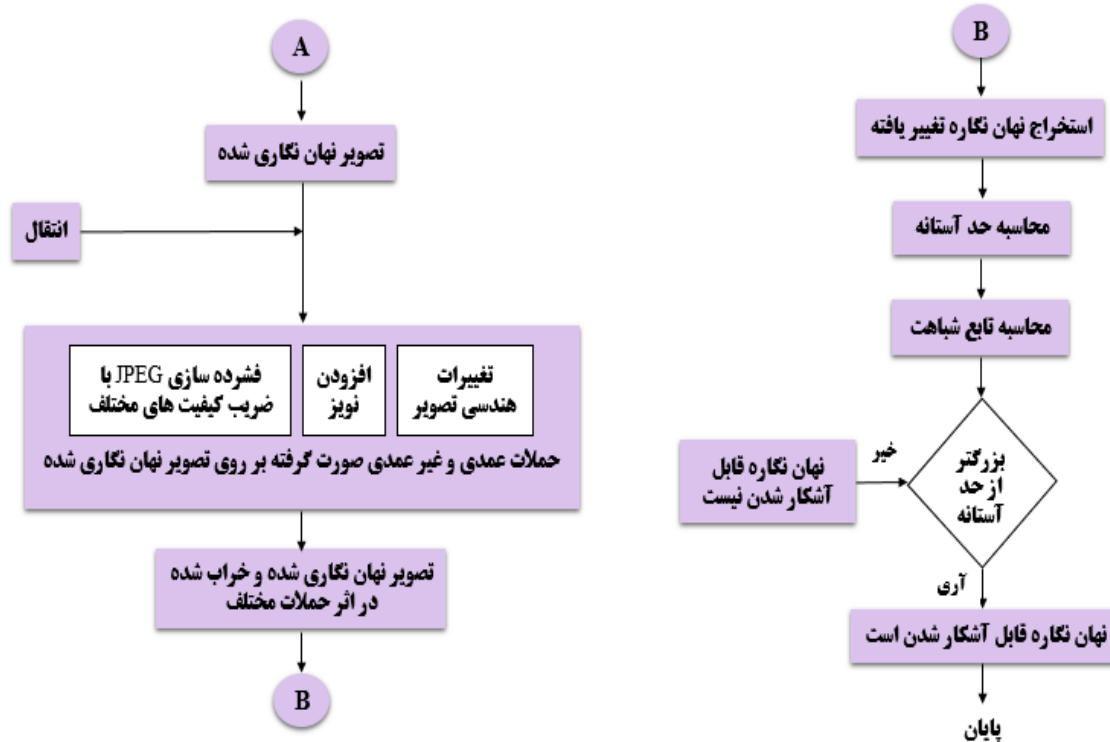
گسسته و استفاده از الگوریتم ژنتیک است. این روش سیگنال نهان‌نگاره را در مهم‌ترین مؤلفه‌های تصویر از نظر بینایی انسان، قرار می‌دهد. به‌منظور ایجاد مقاومت بیشتر در برابر فشردگی‌سازی JPEG، همان‌طور که در JPEG، ابتدا تصویر به بلوک‌های  $4 \times 4$  تقسیم‌شده و سپس DCT هر بلوک گرفته می‌شود. در اینجا نیز از روش مشابه استفاده‌شده و در بلوک‌های  $4 \times 4$  انتخاب‌شده از تصویر، سیگنال نهان‌نگاره، درج می‌شود.

همچنین برای جلوگیری از حذف این ضرایب در اثر فشردگی‌سازی با اتلاف، در هر بلوک انتخاب‌شده از تصویر، ضریب موردنظر از سیگنال نهان‌نگاره‌ی طیف گسترده که یک عدد حقیقی است، در مهم‌ترین ضریب DCT بلوک از نظر JPEG، درج می‌شود. در این روش از مزایای تبدیل DCT مانند مقاومت در برابر حملات فشردگی‌سازی با اتلاف و حملات هندسی بهره گرفته می‌شود. تبدیل  $4 \times 4$  DCT، تبدیل جدیدترین استاندارد فشردگی‌سازی یعنی استاندارد H.264 است.

با توجه به خواص این تبدیل که در نواحی اطراف لبه‌ها نویز کمتری ایجاد می‌کند، پیش‌بینی می‌شود که استفاده از این تبدیل سبب بهبود در شفافیت تصویر نهان‌نگاری شده گردد [۳۶ و ۳۷]. پیامی که جهت نهان‌نگاری



شکل (۲) روند نمای درج نهان‌نگاره



شکل (۳) روند نمای استخراج نهان نگاره

### درج نهان نگاره

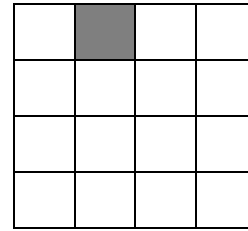
به عنوان سیگنال پیام از جمله‌ی "this is a watermark" استفاده شده است که در ۳ تصویر آزمایش استاندارد خاکستری  $256 \times 256$  پیکسل به نام‌های بابون، فلفل‌ها و لئا، به ترتیب مثال‌هایی از تصاویر فرکانس بالا، با نواحی یکنواخت و درعین حال دارای لبه‌های برجسته و تصویر هموار (لئا)، با فرمت bmp که قبلاً هیچ‌گونه عمل فشرده‌سازی، بر روی آن‌ها صورت نگرفته است، درج می‌شود. برای درج نهان نگاره، ابتدا سیگنال پیام به یک سیگنال ۲ قطبی تبدیل شده و سپس برای گسترش طیف سیگنال پیام، از ماتریس هادامارد که دارای خواص آماری مناسبی از نظر همبستگی متقابل پایین هستند، استفاده شده است و سیگنال ۱۵۲ بیتی پیام  $\{152\} =$  (حرف  $19 \times 8$ ) با استفاده از ماتریس هادامارد از مرتبه ۱۰۲۴ به یک‌رشته‌ی ۱۰۲۴ بیتی، گسترده شده است. بنابراین در هر یک از ۱۰۲۴ بلوک انتخابی از ۴۰۹۶ بلوک ایجاد شده از تصویر، یکی از ۱۰۲۴ مقدار سیگنال

گسترش یافته درج می‌شود، ترتیب انتخاب بلوک‌ها به‌طور غیرمنظم و بر اساس بهینه‌سازی الگوریتم ژنتیک است که در این مقاله از ۱/۴ کل بلوک‌های ایجاد شده برای نهان نگاری استفاده می‌شود. نتایج به دست آمده با روش انتخاب بلوک‌ها به صورت منظم و روش انتخاب بلوک‌ها به صورت غیرمنظم تصادفی جهت نهان نگاری مقایسه گردیده است.

برای جلوگیری از حذف سیگنال نهان نگاره در اثر فشرده‌سازی با اتلاف، هر یک از مؤلفه‌های این سیگنال در مهم‌ترین ضریب AC از تبدیل DCT هر بلوک با توجه به جدول کوانتیزه JPEG درج می‌شود. این مورد در شکل (۴) نشان داده شده است. ما در این مقاله از کوچک‌ترین ضریب در جدول کوانتیزه JPEG که امکان حذف آن به هنگام حملات بخصوص فشرده‌سازی JPEG بسیار کم است [۳۸] استفاده خواهیم کرد. پس از آن، تصویر نهان نگاری شده همان‌طور که در شکل ۳ نشان داده شده، تحت تأثیر انواع حملات قرار می‌گیرد.

P ماتریس از مرتبه‌ی  $152 \times 1024$  (از سطر ۲ تا سطر ۱۵۳ ماتریس هادامارد) می‌باشد. گسترش طیف را به صورت زیر انجام می‌شود:

$$W_{1 \times 1024} = [P]_{152 \times 1024} \times [سیگنال پیام]_{1 \times 152} \quad (2)$$



شکل (۴) ضرب AC انتخاب شده برای درج نهان نگاره

### معیارهای سنجش

الف: میزان شباهت

چون احتمال دارد که سیگنال پیام استخراج شده‌ی  $W^*$  با سیگنال نهان نگاره‌ی اولیه‌ی  $W$  برابر نباشد، میزان شباهت  $W$  و  $W^*$  را می‌توان با رابطه‌ی (۳) اندازه گرفت:

$$\text{Sim}(W, w^*) = \frac{w \cdot w^*}{\sqrt{w^* \cdot w^*}} \quad (3)$$

رابطه‌ی فوق یک رابطه‌ی معمول برای اندازه‌گیری شباهت بین سیگنال اصلی نهان نگاره و سیگنال استخراج شده است [۳۵]. علاوه بر تابع شباهت که در روش کاکس استفاده شده [۳۵] در این مقاله از معیاری سنجش دیگر نیز استفاده خواهیم کرد.

ب) همبستگی نرمال شده

جهت اندازه‌گیری خطا بین نهان نگاره‌ی اصلی و نهان نگاره‌ی بازایی شده از  $NC^3$  که به صورت رابطه (۴) تعریف می‌شود استفاده می‌کنیم [۴۰].

اگر نهان نگاره اصلی را  $M$  و نهان نگاره بازایی شده را  $M'$  در نظر بگیریم و تعداد سطر و ستون‌های نهان نگاره را  $M_{\text{length}}$  و  $M_{\text{width}}$  فرض کنیم آنگاه  $NC$  از رابطه زیر محاسبه می‌شود:

$$NC = \frac{\sum_{i=1}^{M_{\text{length}}} \sum_{j=1}^{M_{\text{width}}} [M(i,j)M'(i,j)]}{\sum_{i=1}^{M_{\text{length}}} \sum_{j=1}^{M_{\text{length}}} [M(i,j)]^2} \quad (4)$$

$NC$  بیانگر میزان تطابق نهان نگاره‌ی بازایی شده با نهان نگاره‌ی اصلی است.

ج) معیار شفافیت

### ایجاد رشته تصادفی

الگوهای  $P_i, i = 1, 2, 3, \dots, R$  که در نهان نگاری به روش طیف گسترده استفاده می‌شوند چنانچه دارای خصوصیتی باشند فرایند تشخیص بهبود می‌یابد و خطای کمتری در هنگام بازیابی خواهیم داشت. می‌توان شرایط زیر را برای آن‌ها در نظر گرفت [۳۹]:

۱.  $P_i, i = 1, 2, 3, \dots, R$  می‌بایست با میانگین صفر باشد.

۲. همبستگی فاصله‌ای  $\langle P_i, P_j \rangle, i \neq j, 1$  بایستی حداقل باشد. به صورت ایده‌آل رشته‌های  $P_i$  و  $P_j$  بایست وقتی  $i \neq j$  است، متعامد باشند.

روشی که ما در این مقاله برای ایجاد رشته‌های تصادفی<sup>۱</sup> از آن استفاده کرده‌ایم استفاده از ماتریس هادامارد است که شرایط فوق را دارا می‌باشد. نکته اصلی که باید در این انتقال به آن توجه کرد این است که ابعاد ماتریس هادامارد توانی از دو می‌باشد. لذا در آزمایش‌های مربوط به ارزیابی روش، طول بردار طیف گسترده همواره توانی از دو می‌باشد.

### ضرب سیگنال پیام در ماتریس هادامارد

یک ماتریس هادامارد از مرتبه  $1024$  انتخاب کرده و برای برقراری شرایط بند ۱-۲-۱ ماتریس  $P$  را به صورت زیر در نظر می‌گیریم:

$$P = \text{Hadamard}(2:1+152, 1:1024) \quad (1)$$

<sup>1</sup> Spatial correlations

<sup>2</sup> Pseudorandom sequences

<sup>3</sup> Normalized Correlation

۱	۶۵		
۲	۶۶		
			
۶۴	۱۲۸		۴۰۹۶

شماره بلوک

۱	۲	۳		۴۰۹۶
۰	۱	۱		۰

گروموزوم

شکل (۵) ساختار کروموزوم و شماره اندیس بلوکها

عدد یک در کروموزوم به معنی انتخاب بلوک و عدد صفر به معنی عدم انتخاب بلوک مربوطه می‌باشد. در ابتدا کروموزومها به گونه‌ای مقداردهی اولیه می‌شوند که تعداد کل یکها برابر ۱۰۲۴ باشد. همچنین در هنگام انجام فرایند جهش و بازترکیب در صورتی که تعداد یکها از مقدار تعیین شده منحرف شد، با استفاده از روش انتخاب تصادفی یکها به صفر و یا برعکس تبدیل می‌شود. معیارهای ارزیابی نهان‌نگاری، همان‌گونه که بیان شد میزان شباهت<sup>۳</sup> همبستگی نرمالیزه شده<sup>۴</sup> و بیشینه‌ی نسبت سیگنال به نویز<sup>۵</sup> می‌باشد. هدف بیشینه کردن مقدار این پارامترها در انتخاب بلوکها می‌باشد. در انتخاب تابع برازندگی هر سه مقدار ارزیابی و تمام حملات انجام گرفته بر روی تصویر نهان‌نگاری شده، در نظر گرفته

جهت مشخص نمودن شباهت بین تصویر اصلی و تصویر نهان‌نگاری شده نیز از  $PSNR^1$  استفاده می‌کنیم. اگر تصویر اصلی را  $H$  و تصویر نهان‌نگاری شده را  $H'$  در نظر بگیریم و تعداد سطرها و ستون‌های تصاویر  $H_{length}$  و  $H_{width}$  باشند،  $PSNR$  با استفاده از  $MSE^2$  به صورت زیر تعریف می‌شود [۴۱]:

$$MSE = \frac{1}{H_{length}H_{width}} \sum_{i=1}^{H_{length}} \sum_{j=1}^{H_{width}} [H(i, j) - H'(i, j)]^2 \quad (5)$$

$$PSNR = 10 \log \left[ \frac{\max(H')^2}{MSE} \right] \text{ dB} \quad (6)$$

$PSNR$  بیانگر میزان شباهت تصویر نهان‌نگاره‌ی شده با تصویر اصلی است.

#### انتخاب بلوکها

در این مقاله جهت پیدا کردن بهینه‌ترین ترکیب بلوکها، جهت درج نهان‌نگاره، از الگوریتم ژنتیک استفاده شده است. هدف پیدا کردن بهترین ترکیب بلوکها در تصویر است به گونه‌ای که معیارهای ارزیابی نهان‌نگاری بیشینه شود. همان‌گونه که بیان شد تعداد بلوکهای موردنیاز جهت درج نهان‌نگاره ۱۰۲۴ و تعداد کل بلوکهای  $4 \times 4$  تصویر برابر ۴۰۹۶ می‌باشد بنابراین باید  $\frac{1}{4}$  کل بلوکها انتخاب گردد. انتخاب ساختار کروموزومها در الگوریتم ژنتیک به این صورت است که هر کروموزوم شامل اندیس مربوط به شماره بلوکها به صورت زیر می‌باشد.

<sup>۳</sup> Similarity (SIM)<sup>۴</sup> Normalized Cross Correlation (NC)<sup>۵</sup> Peak Signal to Noise Ratio (PSNR)<sup>۱</sup> Power Signal to Noise Ratio<sup>۲</sup> Mean Squared Error

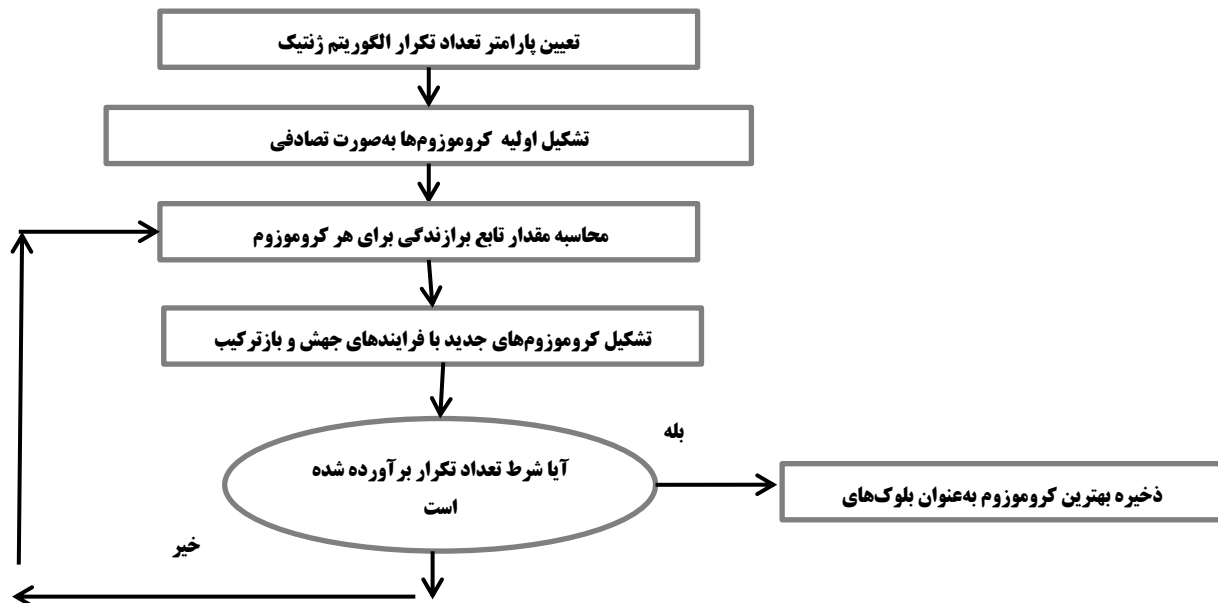
$nA = 16$  است و مقادیر ضرایب  $\alpha$ ،  $\beta$  و  $\gamma$  با در نظر گرفتن واقعیت که آشکارسازی صحیح پیام برای ما اولویت دارد (NC) و با آزمون و خطا به ترتیب برابر  $\alpha = 1$ ،  $\beta = 2$  و  $\gamma = 1$  انتخاب گردید. الگوریتم ژنتیک سعی در کمینه کردن مقدار **Fit** و بیشینه کردن مقدار **Cost** دارد که مجموع وزن دار سه پارامتر ارزیابی است. در زیر روند نمای انتخاب بلوکها توسط الگوریتم ژنتیک با روش پیشنهادی آمده است. همچنین نتایج شبیه سازی در شکل های ادامه نمایش داده شده است.

می شود؛ بنابراین تابع برازندگی الگوریتم ژنتیک به صورت زیر انتخاب می گردد:

$$\text{Cost} = \sum_{i=1}^{nA} \alpha \times \text{SIM}_i + \beta \times \text{NC}_i + \gamma \times \text{PSNR}_i \quad (7)$$

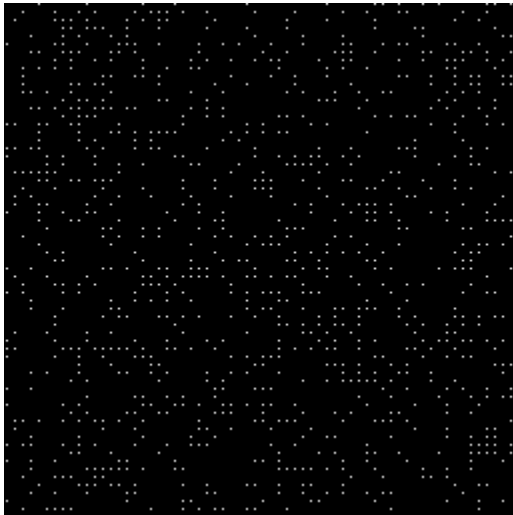
$$\text{Fit} = \frac{1}{\text{Cost}} \quad (8)$$

که در آن  $nA$  برابر تعداد حمله های انجام گرفته بر روی تصویر است.  $\alpha$ ،  $\beta$  و به ترتیب ضرایب سه معیار **SIM**، **NC** و **PSNR** بوده و **Fit** مقدار تابع برازندگی است. تعداد حملات مورد استفاده در روش پیشنهادی برابر

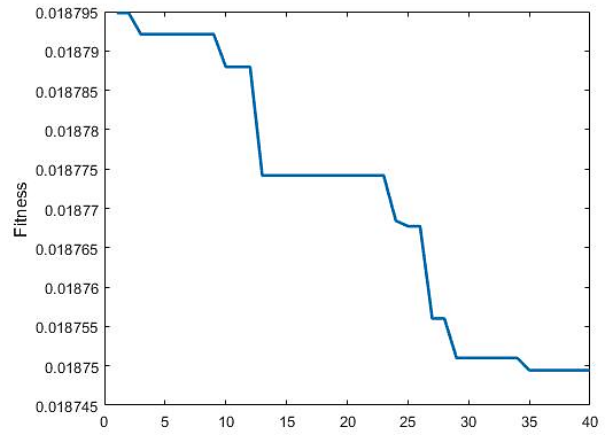


شکل (۶): روند نمای انتخاب بلوکها توسط الگوریتم ژنتیک با روش پیشنهادی



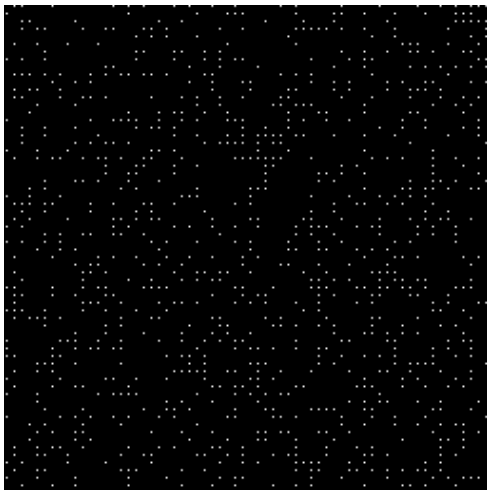


شکل (۷-ب) بلوک های بهینه انتخاب شده به منظور درج نهان نگاره

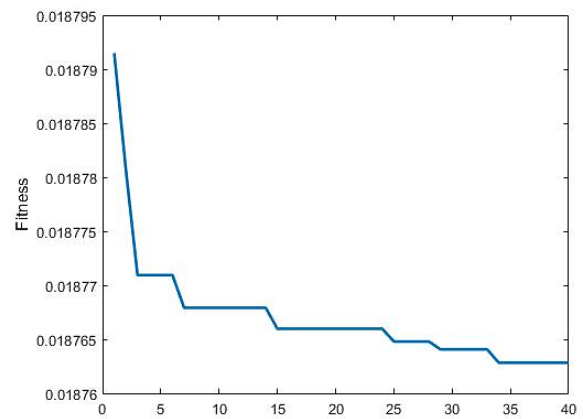


شکل (۷-الف) نمودار کاهش مقدار تابع برازندگی توسط الگوریتم ژنتیک

شکل (۷) نتایج روی تصویر Baboon

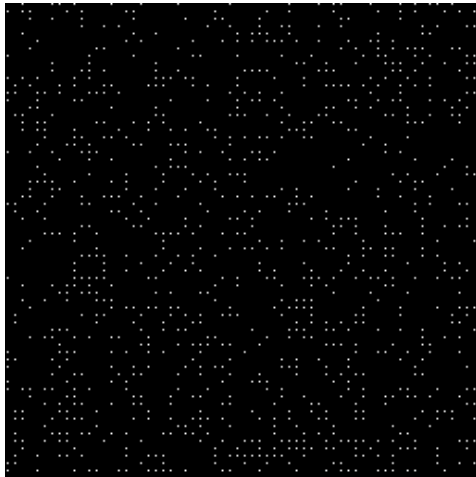


شکل (۸-ب) بلوک های بهینه انتخاب شده به منظور درج نهان نگاره

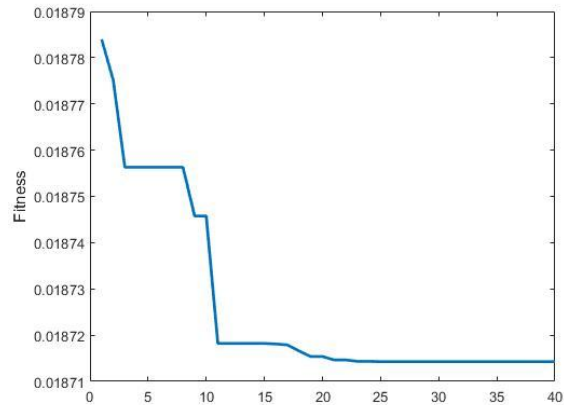


شکل (۸-الف) نمودار کاهش مقدار تابع برازندگی توسط الگوریتم ژنتیک

شکل (۸) نتایج روی تصویر Lena



شکل (۹-ب) بلوک های بهینه انتخاب شده به منظور درج نهان نگاره



شکل (۹-الف) نمودار کاهش مقدار تابع برازندگی توسط الگوریتم ژنتیک

شکل (۹) نتایج روی تصویر Peppers

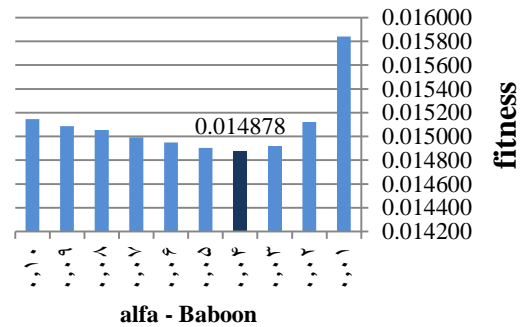
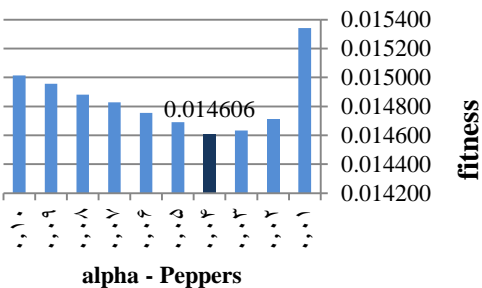
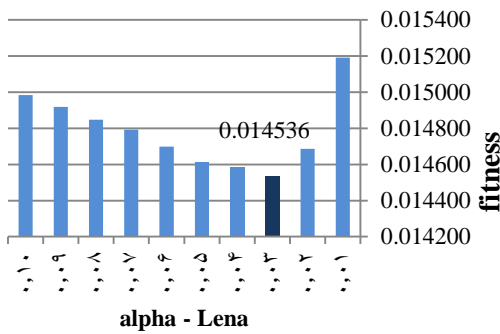
تعیین ضریب بهره  $\alpha$

که در آن  $\alpha$  ضریب بهره نهان نگاری است و در هنگام گنجاندن هرچه مقدار آن کمتر باشد، PSNR یعنی شباهت بین تصویر نهان نگاری شده و تصویر اصلی افزایش می یابد اما در عوض مقاومت تصویر نهان نگاری شده در

برای درج سیگنال نهان نگاره از فرمول زیر استفاده می کنیم:

$$I_W(i) = I(i) + \alpha W(i) \tag{9}$$

مقابل اعمال خرابکاری کمتر خواهد شد؛ بنابراین در هنگام گنجاندن نهان نگاره می بایست سعی کرد تا بهترین مقدار برای آن در نظر گرفته شود که هم شفافیت تصویر نهان نگاری حفظ شود و هم مقاومت الگوریتم ارائه شده در حد مطلوبی باقی بماند؛ بنابراین در اینجا بعد از تعیین بهترین بلوک ها برای درج نهان نگاره آنالیز حساسیتی بر اساس مقادیر مختلف  $\alpha$  و مقدار تابع برازندگی انجام گردیده و بهترین  $\alpha$  برای هر تصویر انتخاب گردیده است.



شکل (۱۰) تعیین  $\alpha$  بهینه برای سه تصویر استاندارد لنا، بابون و فلفل ها

## نتایج آزمایش‌ها

برای هر تصویر آزمایش شده است؛ و نتایج حاصله در جداول ۲، ۳ و ۴ نشان داده شده است.

در جدول (۱) لیست حملاتی که جهت سنجش مقاومت الگوریتم پیشنهادی به تصویر نهان‌نگاری شده اعمال می‌گردد آورده شده است. همه حملات برای  $\alpha$  بهینه

جدول (۱) حملات مختلف آزمایش شده بر روی تصویر نهان‌نگاری شده

ردیف	علائم مختصر	توضیحات
۱	G + WF	افزودن نویز گوسی ( $m=0, v=0.05$ ) و عبور از فیلتر وینر
۲	S&P + MF	افزودن نویز فلفل نمکی ( $D=2\%$ ) و عبور از فیلتر میانه
۳	S&P+G+ MF+WF	افزودن همزمان نویز گوسی و فلفل نمکی به تصویر و عبور از فیلترهای وینر و میانه
۴	J67	فشرده‌سازی JPEG با $Q=67\%$
۵	J84	فشرده‌سازی JPEG با $Q=84\%$
۶	J+G+WF	افزودن نویز گوسی و پس از فشرده‌سازی با $Q=67,84\%$ و عبور از فیلتر وینر
۷	J+S&P+MF	افزودن نویز فلفل نمکی پس از فشرده‌سازی با $Q=67,84\%$ و عبور از فیلتر میانه
۸	J+2N2F	افزودن نویز گوسی و فلفل نمکی پس از فشرده‌سازی با $Q=67,84\%$ و عبور از دو فیلتر وینر و میانه
۹	C 1/2	بریدن ۱/۲ از تصویر نهان‌نگاری شده
۱۰	C 3/4	بریدن ۳/۴ از تصویر نهان‌نگاری شده
۱۱	C 7/8	بریدن ۷/۸ از تصویر نهان‌نگاری شده

جدول (۲) مقایسه حملات مختلف بر روی تصاویر مختلف با مقادیر بهینه  $\alpha$  در بلوک‌های تصادفی

معیار سنجش /حمله	مشخصات تصویر											
	Baboon ( $\alpha = 0.04$ )				Lena ( $\alpha = 0.03$ )				Peppers ( $\alpha = 0.04$ )			
	SI M	N C	PSN R	M	SI M	N C	PS NR	M	SI M	N C	PS NR	M
none	12.3 2	1	28.05	this is a watermar k	12. 32	1	27. 78	this is a waterma rk	12. 32	1	27. 54	this is a watermar k
Resize	12.0 0	1	24.38	this is a watermar k	12. 05	1	27. 95	this is a waterma rk	12. 10	1	27. 56	this is a watermar k

G_WF	9.67	1	19.00	this ic a watermark	9.57	1	20.13	this is a watermark	9.31	1	19.95	this is a watermark
SP_MF	11.34	1	23.77	this is a watermark	11.44	1	29.28	this is a watermark	11.46	1	29.57	this is a watermark
SP_G_MF_WF	8.24	0.94	20.34	4` c is a watermark	8.11	0.91	21.88	this is a watermark	8.16	0.97	22.04	tèis is\$a(wAt ermark
C1_2	8.17	1	31.12	this is a watermark	8.56	1	30.79	this is a watermark	8.17	1	30.55	this is a watermark
C3_4	5.23	1	33.20	this is a watermark	6.16	1	33.65	this is a watermark	5.24	1	33.38	this is a watermark
C7_8	3.41	0.88	35.99	%s is a watermarksv	3.74	0.88	36.61	ž œs is a watermarksc	3.35	0.88	36.45	ž (E%œs íó á ÷aôeðmasv
J84	12.30	1	26.45	this is a watermark	12.29	1	26.81	this is a watermark	12.15	1	26.03	this is a watermark
J84_G_WF	9.80	1	19.30	this is a watermark	9.64	1	20.15	this is a watermark	9.39	1	19.57	this is a watermark
J84_SP_MF	11.43	1	20.50	this is a watermark	11.45	1	26.87	this is a watermark	11.42	1	22.88	this is a watermark
J84_G_WF_SP_MF	8.40	0.92	18.94	4has is a watermark	8.73	0.97	21.87	tiis is a watermarkrj	8.52	0.98	21.43	tHis is a watermark
J67	12.27	1	25.63	this is a watermark	12.25	1	26.10	this is a watermark	12.10	1	23.62	this is a watermark
J67_G_WF	9.67	1	19.03	this is a watermark	9.71	1	20.21	this is a watermark	9.42	0.98	19.52	this is a watermark
J67_SP_MF	11.01	1	19.31	this is a watermark	11.25	1	25.45	this is a watermark	11.29	1	21.36	this is a watermark
J67_G_WF_SP_MF	8.50	0.98	20.05	tHis is a watermark	8.39	0.97	21.15	t`ic is	8.38	0.98	20.80	this is a watermark

جدول (۳) مقایسه حملات مختلف بر روی تصاویر مختلف با مقادیر بهینه  $\alpha$  در بلوک های منظم

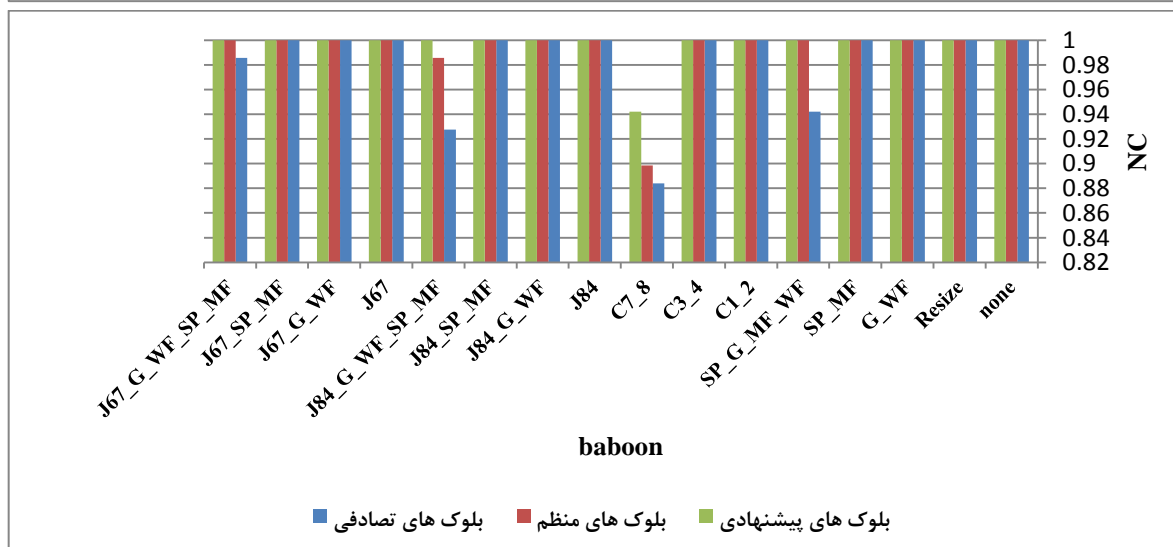
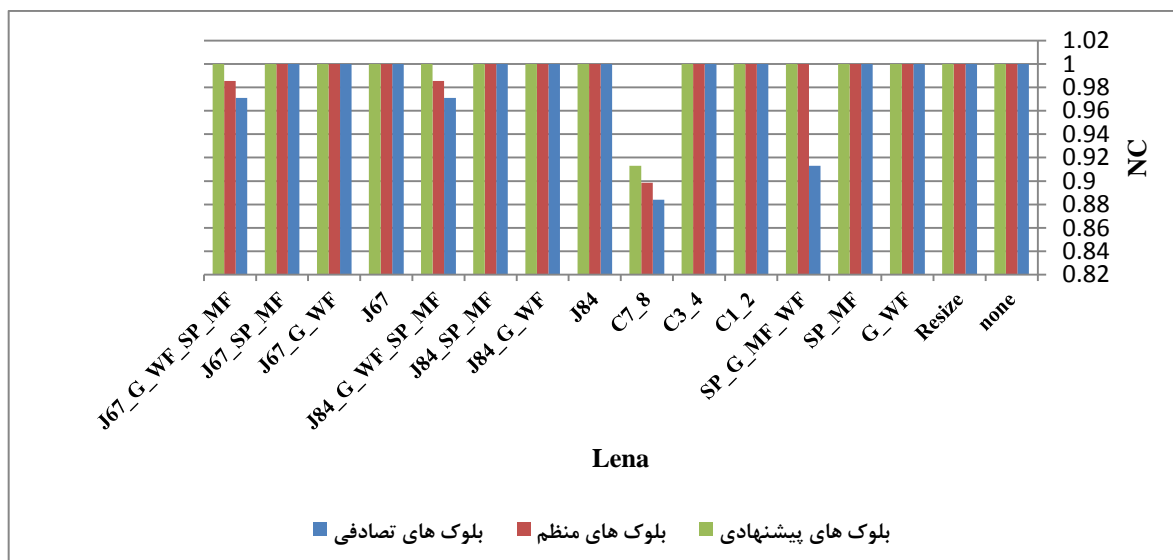
معیار سنجش /حمله	مشخصات تصویر											
	Baboon ( $\alpha = 0.04$ )				Lena ( $\alpha = 0.03$ )				Peppers ( $\alpha = 0.04$ )			
	SI M	N C	PSN R	M	SI M	N C	PSN R	M	SI M	N C	PSN R	M

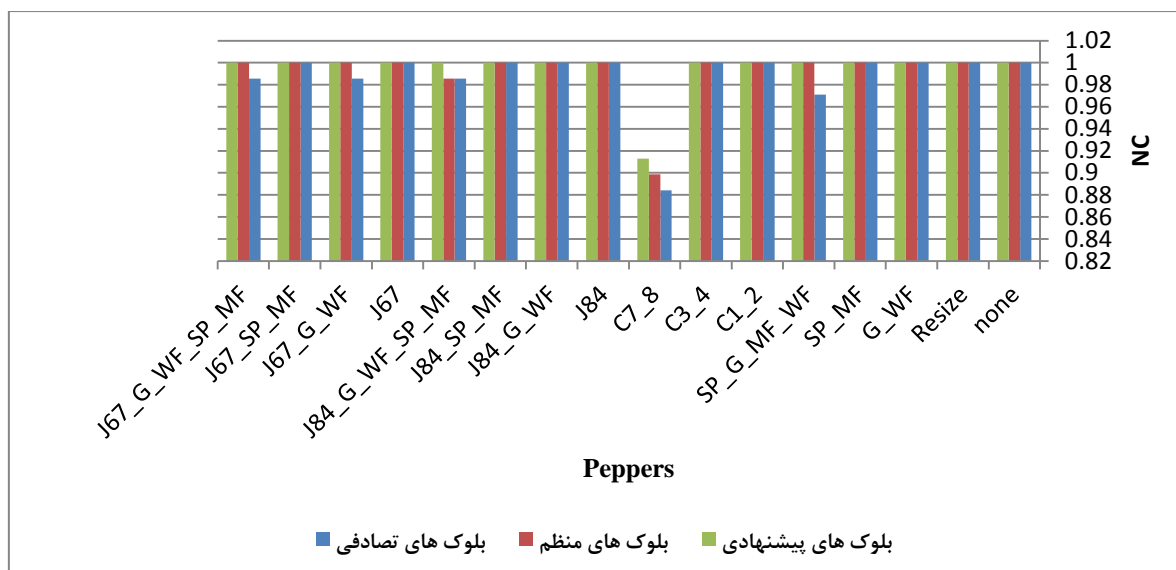
none	12.3 2	1	28.1 1	this is a waterma rk	12.3 2	1	28.3 9	this is a waterma rk	12.3 2	1	29.0 4	this is a waterma rk
Resize	12.0 2	1	25.2 6	this is a waterma rk	12.1 0	1	28.3 7	this is a waterma rk	12.1 1	1	28.5 3	this is a waterma rk
G_WF	9.79	1	19.3 1	this is a waterma rk	9.76	1	20.1 9	this is a waterma rk	9.50	1	20.0 2	this is a waterma rk
SP_MF	11.4 1	1	23.9 3	this is a waterma rk	11.5 3	1	29.3 3	this is a waterma rk	11.5 9	1	30.0 3	this is a waterma rk
SP_G_MF_WF	8.24	1	20.3 7	this is a waterma rk	8.12	1	21.9 0	this is a waterma rk	8.25	1	22.1 3	this is a waterma rk
C1_2	8.71	1	31.6 2	this is a waterma rk	8.71	1	30.8 8	this is a waterma rk	8.71	1	30.9 9	this is a waterma rk
C3_4	6.16	1	34.1 3	this is a waterma rk	6.21	1	33.6 7	this is a waterma rk	6.16	1	33.5 6	this is a waterma rk
C7_8	4.06	0.8 9	36.4 7	this is a waterma rk	4.06	0.8 9	36.6 6	this is a waterma rk	4.06	0.8 9	36.6 3	this is a waterma rk
J84	12.3 0	1	26.4 9	this is a waterma rk	12.3 0	1	26.8 3	this is a waterma rk	12.2 1	1	26.3 1	this is a waterma rk
J84_G_WF	9.84	1	19.3 2	this is a waterma rk	9.83	1	20.2 8	this is a waterma rk	9.45	1	19.9 2	this is a waterma rk
J84_SP_MF	11.4 6	1	21.6 6	this is a waterma rk	11.4 9	1	29.0 5	this is a waterma rk	11.5 4	1	28.8 9	this is a waterma rk
J84_G_WF_SP _MF	8.67	0.9 8	19.7 6	this is a waterma rk	8.88	0.9 8	21.9 5	this is a waterma rk	8.73	0.9 8	21.9 9	this is a waterma rk
J67	12.2 8	1	25.7 2	this is a waterma rk	12.2 6	1	26.1 0	this is a waterma rk	12.1 2	1	24.9 8	this is a waterma rk
J67_G_WF	9.90	1	19.1 7	this is a waterma rk	9.81	1	20.3 2	this is a waterma rk	9.48	1	19.6 9	this is a waterma rk
J67_SP_MF	11.2 4	1	20.8 1	this is a waterma rk	11.3 9	1	26.3 9	this is a waterma rk	11.3 7	1	26.7 4	this is a waterma rk
J67_G_WF_SP _MF	8.70	1	20.1 9	this is a waterma rk	8.63	0.9 8	21.8 8	this is a waterma rk	8.59	1	20.8 6	this is a waterma rk

جدول (۴) مقایسه حملات مختلف بر روی تصاویر مختلف با مقادیر بهینه  $\alpha$  در بلوک های پیشنهادی

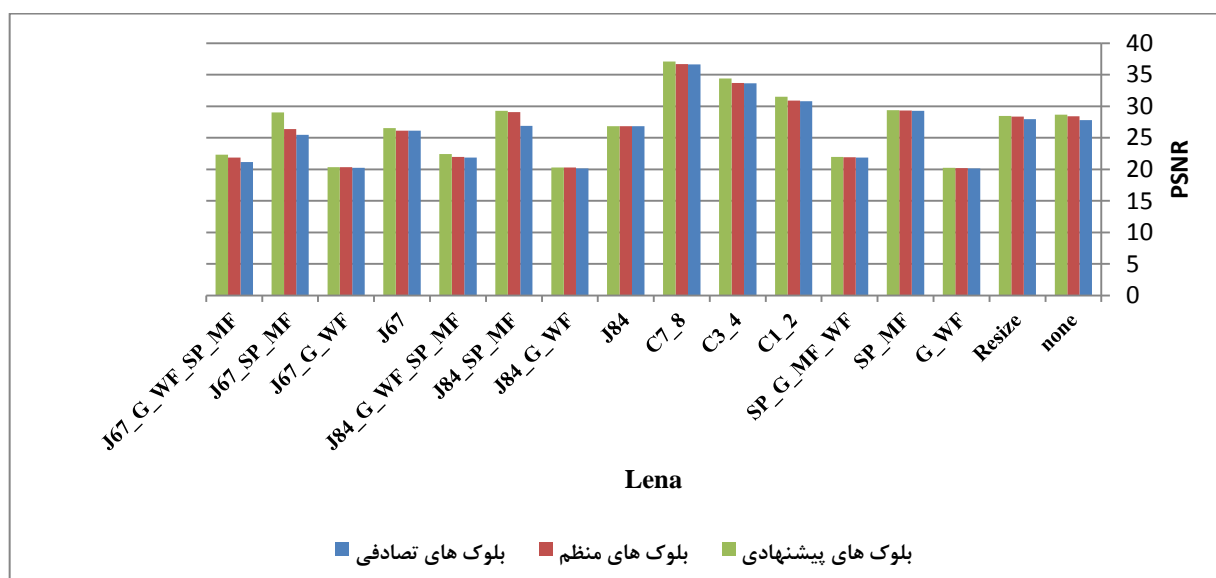
معیار سنجش / حمله	مشخصات تصویر											
	Baboon ( $\alpha = 0.04$ )				Lena ( $\alpha = 0.03$ )				Peppers ( $\alpha = 0.04$ )			
	SI M	N C	PSN R	M	SI M	N C	PSN R	M	SI M	N C	PSN R	M
none	12.32	1	28.80	this is a watermark	12.32	1	28.64	this is a watermark	12.32	1	29.27	this is a watermark
Resize	12.14	1	25.29	this is a watermark	12.20	1	28.43	this is a watermark	12.21	1	29.24	this is a watermark
G_WF	9.94	1	19.45	this is a watermark	9.84	1	20.22	this is a watermark	9.66	1	20.02	this is a watermark
SP_MF	11.41	1	24.42	this is a watermark	11.55	1	29.37	this is a watermark	11.62	1	30.23	this is a watermark
SP_G_MF_WF	8.25	1	20.38	this is a watermark	8.14	1	21.93	this is a watermark	8.64	1	22.15	this is a watermark
C1_2	8.85	1	31.67	this is a watermark	8.86	1	31.50	this is a watermark	8.75	1	31.92	this is a watermark
C3_4	6.22	1	34.30	this is a watermark	6.36	1	34.39	this is a watermark	6.27	1	34.42	this is a watermark
C7_8	4.29	0.94	38.01	this is a watermark*	4.31	0.91	37.09	this is a watermark*	4.31	0.91	38.30	this is a watermark*
J84	12.31	1	26.56	this is a watermark	12.30	1	26.83	this is a watermark	12.24	1	26.65	this is a watermark
J84_G_WF	9.92	1	19.37	this is a watermark	9.83	1	20.29	this is a watermark	9.54	1	20.22	this is a watermark
J84_SP_MF	11.57	1	24.41	this is a watermark	11.52	1	29.29	this is a watermark	11.56	1	28.91	this is a watermark
J84_G_WF_SP_MF	8.96	1	20.09	this is a watermark	9.00	1	22.44	this is a watermark	8.84	1	22.28	this is a watermark
J67	12.28	1	25.73	this is a watermark	12.27	1	26.51	this is a watermark	12.20	1	25.72	this is a watermark
J67_G_WF	9.96	1	19.44	this is a watermark	9.91	1	20.33	this is a watermark	9.51	1	19.75	this is a watermark
J67_SP_MF	11.48	1	24.54	this is a watermark	11.47	1	29.00	this is a watermark	11.45	1	27.19	this is a watermark

				ark				k				k
J67_G_WF_S	8.9		20.6	this is a	8.8			this is a	8.8		21.7	this is a
P_MF	3	1	6	waterm	9	1	22.3	watermar	1	1	8	watermar
				ark				k				k

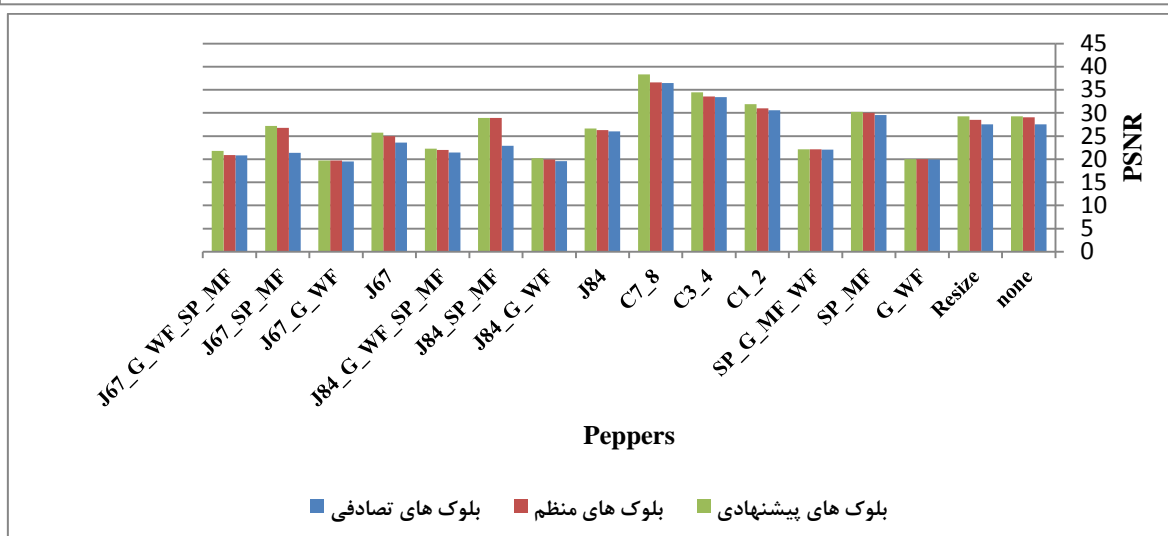
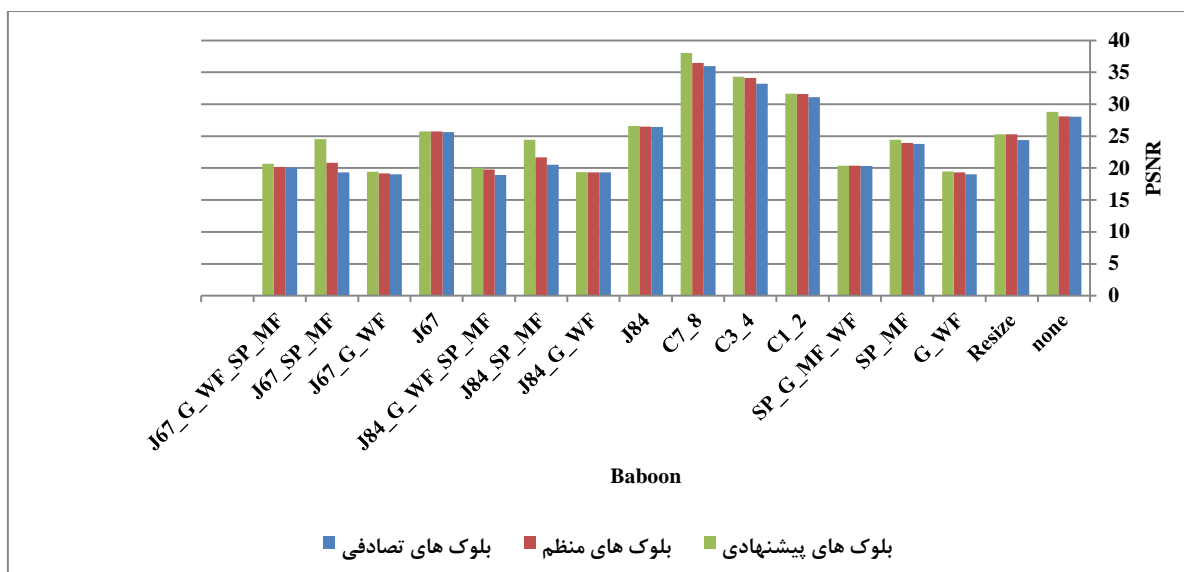




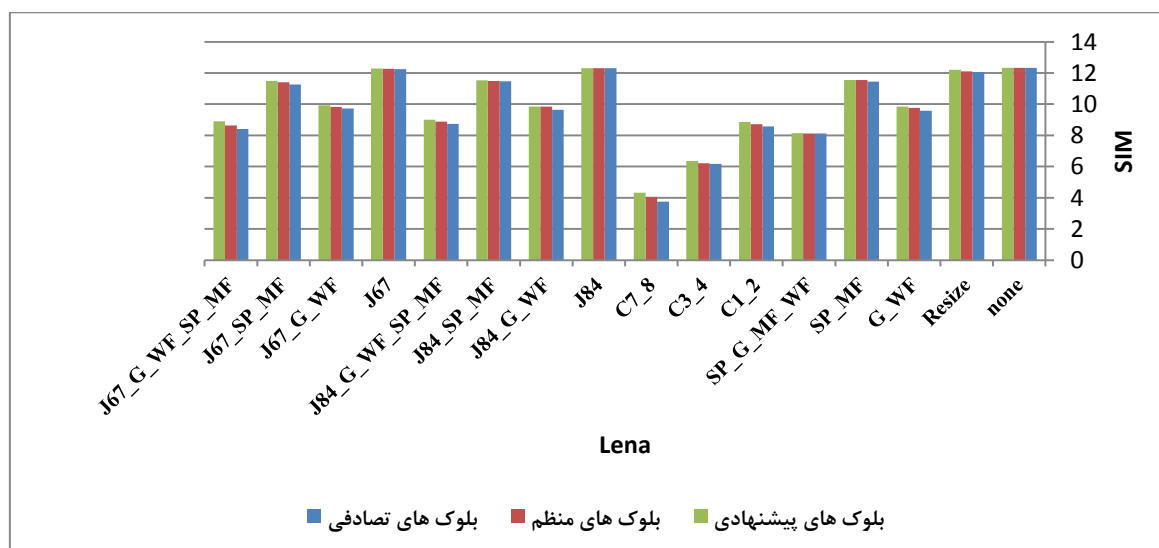
شکل (۱۱) مقایسه NC حاصل از روش پیشنهادی و روش انتخاب بلوک های منظم و انتخاب بلوک ها به صورت غیر منظم تصادفی

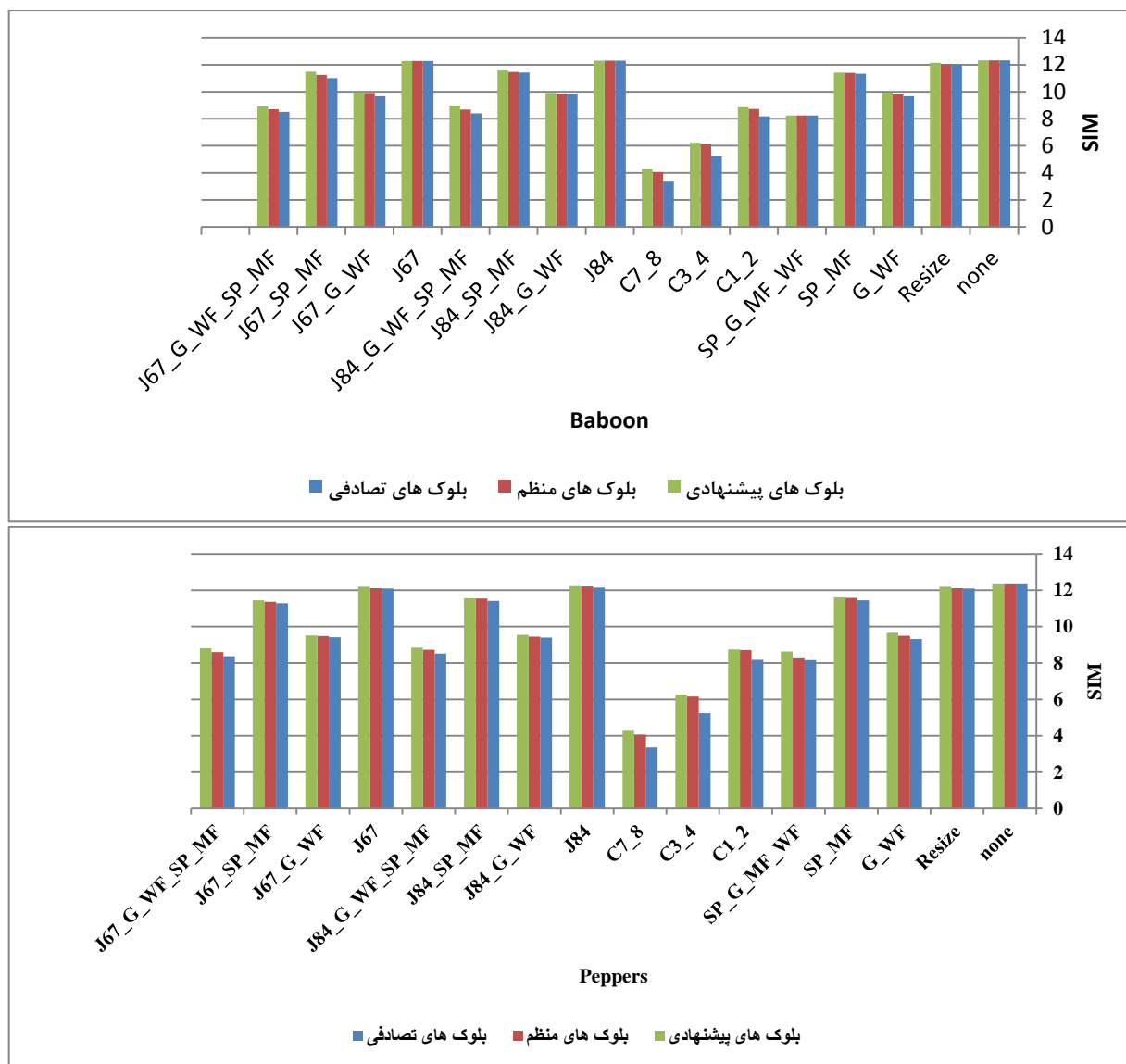






شکل (۱۲) مقایسه PSNR حاصل از روش پیشنهادی و روش انتخاب بلوک های منظم و انتخاب بلوک ها به صورت تصادفی





شکل (۱۳) مقایسه SIM حاصل از روش پیشنهادی و روش انتخاب بلوک های منظم و انتخاب بلوک ها به صورت تصادفی

### نتیجه گیری

همان طور که از جداول و شکل های بالا مشاهده می شود استفاده از الگوریتم پیشنهادی نسبت به روش انتخاب بلوک ها به صورت منظم و روش انتخاب بلوک ها به صورت غیرمنظم تصادفی دارای PSNR یا به عبارت دیگر دارای شفافیت بیشتری می باشد. با توجه به اینکه همیشه بین شفافیت تصویر نهان نگاری شده و مقاومت مصالح های وجود دارد اما با بررسی مقاومت روش ارائه شده در مقابل اعمال خراب کاری های مختلف مشاهده می شود که روش پیشنهادی دارای مقاومت بهتری نیز در مقابل حملات مختلف دارد. از نتایج بسیار جالب، تغییر بسیار کم تابع

شبهات در فشرده سازی JPEG است. این نتیجه جالب، نمایانگر مقاومت بسیار خوب سیگنال نهان نگاره در برابر فشرده سازی های مختلف است. به عبارت دیگر، از این نتایج چنین برمی آید که درج هر بیت از سیگنال طیف گسترده ی نهان نگاره در ضریبی از تبدیل DCT هر بلوک که از نظر JPEG ارزش بیشتری دارد، سبب مقاوم شدن بسیار زیاد سیگنال نهان شده در تصویر، در برابر فشرده سازی های JPEG می شود. در حالت کلی، با مقایسه معیارهای سنجش مشاهده می شود که روش پیشنهادی دارای شفافیت و نتایج بهتری در برابر حملات مختلف دارد. به دلیل استفاده از روش طیف گسترده برای

در هنگام بازیابی خواهیم داشت. با توجه به تعداد بلوک‌های ایجادشده (استفاده از زیر تصویرها برای درج نهان‌نگاره) حجم ذخیره‌سازی هم بیشتر می‌گردد.

گسترش طیف پیام الگوریتم ارائه‌شده از امنیت خوبی برخوردار می‌باشد. همچنین به دلیل استفاده از ماتریس هادامارد، فرایند تشخیص بهبود می‌یابد و خطای کمتری

of current methods,” Signal Processing, Vol. 90, pp. 727752, 2010.

[11] S. Goel, A. Rana and M. Kaur "Comparison of image steganography techniques,” International Journal of Computers and Distributed Systems, Vol. 3, pp. 20-30, 2013.

[12] C. Fung, A. Gortan, and W. J. Godoy “A review study on image digital watermarking,” In Proceedings of the 10th international conference on networks, pp. 24–28, 2011.

[13] F. Husain, “A survey of digital watermarking techniques for multimedia data,” International Journal of Electronics and Communication Engineering, Vol. 2, pp. 37–43, 2012.

[14] J. Liu and X. He, “A review study on digital watermarking,” In Proceedings of 1st International Conference on Information and Communication Technologies, pp. 337–341, 2005.

[15] M. Khishe, M. R. Mosavi, and M. Kaveh, “Improved Migration Models of Biogeography-based Optimization for Sonar Data Set Classification using Neural Network,” Applied Acoustic, Vol.118, pp.15-29, 2017.

[16] S. Mokhnache, T. Bekkouche and D. Chikouche “A Robust Watermarking Scheme Based on DWT and DCT Using Image Gradient,” International Journal of Applied Engineering Research, Vol. 13, No. 4, pp. 1900-1907, 2018.

[17] A. L. Choodarathnakara, A. Manjunatha, K. K. Sneha and V. A. Chandana “Combined DWT-DCT Digital Image Watermarking for Improving Imperceptibility and Robustness” International Journal of Management, Technology And Engineering, Vol. 8, No. X, 2018.

[18] P. Fakhari, E. Vahedi and C. Lucas “Protecting patient privacy from unauthorized release of medical images using a bio-inspired wavelet-based watermarking approach,” Digital Signal Process Vol. 21, pp. 433–446, 2011.

[19] S. Ravakhah, M. Khishe, M. Aghababae and E. Hashemzadeh, “Sonar False Alarm Rate Suppression using Classification Methods Based on Interior Search Algorithm,” IJCSNS International Journal of Computer Science and Network Security, Vol.17, No.7, July 2017.

## منابع

[1] M. R. Mosavi, M. Khishe and A. Ghamgosar, "Classification of Sonar Data Set using Neural Network Trained by Gray Wolf Optimization", Journal of Neural Network World, Vol.26, No.4, pp.393-415, 2016.

[2] A. M. Abdelhakim, H. I. Saleh and A. M. Nassar “Aquality guaranteed robust image watermarking optimization with Artificial Bee Colony” Expert Systems with Applications, Vol. 72 pp. 317–326, 2017.

[3] I. J. Cox, J. Kilian, F. T. Leighton, and T. Shamoon, “Secure spread spectrum watermarking for multimedia,” IEEE Transactions on Image Processing, Vol. 6, pp. 1673–1687, 1997.

[4] M. R. Mosavi, M. Khishe and M. Akbarisani, “Neural Network Trained by Biogeography-based Optimizer with Chaos for Sonar Data Set Classification,” Wireless Personal Communications (WPC), Vol.95, No.4, pp.1-20, 2017.

[5] M. R. Mosavi, M. Khishe, “Training a Feed-Forward Neural Network using Particle Swarm Optimizer with Autonomous Groups for Sonar Target Classification,” Journal of Circuits, Systems, and Computers (JCSC), Vol. 26, No. 11, pp.1-20, November 2017.

[6] I. J. Cox, M. L. Miller, J. A. Bloom and C. Honsinger, “Digital watermarking,” Vol.53, Springer, 2002.

[7] M. L. Miller, I. J. Cox, J.-P. M.Linnartz and T. Kalker, “A review of watermarking principles and practices,” Digital signal processing for multimedia systems, pp. 461–485, 1999.

[8] J. R. Aparna and S. Ayyappan “Image Watermarking using Diffie Hellman Key Exchange Algorithm” International Conference on Information and Communication Technologies, 2014.

[9] M. Tang, J. Hu and W. Song "A high capacity image steganography using multi-layer embedding,” Optik International Journal for Light and Electron Optics, Vol. 125, pp. 3972-3976, 2014.

[10] A. Cheddad, J. Condell, K. Curran, P. K. Mc, “Digital image steganography: Survey and analysis

- [31] C. C. Lai, "An improved SVD-based watermarking scheme using human visual characteristics," *Optic Communication*, Vol. 284, pp. 938-944, 2011.
- [32] A. Phadikar, S. P. Maity and B. Verma "Region based QIM digital watermarking scheme for image database in DCT domain," *Computer Electronic Engineering*, Vol. 37, pp. 339-355, 2011.
- [33] Q. T. Su, Y. G. Niu, X. X. Liu and Y. Zhu "Embedding color watermarks in color images based on Schur decomposition," *Optic Communication*, Vol. 285, pp. 1792-1802, 2012.
- [34] I. J. Cox, J. Kiliant, T. Leighton and T. Shamoon, "Secure Spread Spectrum Watermarking for Multimedia," *IEEE Transaction on Image Processing*, Vol.6, pp. 1673-1687, 1997.
- [35] M. Kaveh, M. Khishe, M. R. Mosavi, "Design and Implementation of a Neighborhood Search BBO Trainer for Classifying Sonar Data Set using Multi-Layer Perceptron Neural Network," *Analog Integrated Circuits and Signal Processing*, November 2018.
- [36] Y. Q. Shi and H. Sun, "Image and Video Compression for Multimedia Engineering Fundamentals, Algorithms, and Standards," Florida, CRC Press LLC Inc, 2000.
- [37] Th. Wiegand, G. J. Sullivan, G. Bjontegaard and A. Luthra, "Overview of the H.264/AVC Video Coding Standard," *IEEE Transactions on Circuits and Systems for Video Technology*, Vol. 13, No7, July 2003.
- [38] M. R. Mosavi, M. Khishe, G. R. Parvizi, M. J. Naseri, M. Ayat, "Training Multi-Layer Perceptron Utilizing Adaptive Best-mass Gravitational Search Algorithm to Classify Sonar Dataset," *Archive of Acoustics*, Vol. 44, No. 1, pp. 137-151, 2019.
- [39] J. Mayer, A. Vieria, S. Silverio, J. Carlos and M. Bermudez, "On the Design of Pattern Sequences for Spread Spectrum Image Watermarking" *International Telecommunications Symposium- ITS 2002*.
- [40] M. Khishe, H. Mohammadi, "Sonar Target Classification using Multi-Layer Perceptron Trained by Salp Swarm Algorithm," *Ocean Engineering*, Vol. 181, pp. 98-108, 2019.
- [41] Ch. Sh. Shieh, H. Ch. Huang, F. H. Wang, and J. Sh. Pan "Genetic Watermarking based on transform-domain techniques," *Pattern Recognition*, Vol. 37, pp. 555-565, 2004.
- [20] I. G. Karibali and K Berberidis "Efficient spatial image watermarking via new perceptual masking and blind detection scheme," *IEEE Transaction on Information Forensics Secur*, Vol. 1, No.2, pp. 256-274, 2006.
- [21] M. Khishe, M. R. Mosavi and A. Moridi "Chaotic Fractal Walk Trainer for Sonar Data Set Classification using Multi-Layer Perceptron Neural Network and Its Hardware Implementation," *Applied Acoustics*, Vol.137, pp.121-139, 2018.
- [22] N. Memon, "Analysis of LSB based image steganography techniques Chandramouli," *Proceedings of International Conference on Image*, Vol. 3. pp. 1019-1022, 2001.
- [23] R. Wolfgang, E. Delp, "A watermark for digital images", *Proceedings of International Conference on Images Processing*, pp. 219222, 1996.
- [24] S. Katzenbeisser and F. Petitcolas "Information hiding techniques for steganography and digital watermarking," *Artech House Books*, 2000.
- [25] A. Poljicak, L. Mandic and D. Agic "Discrete Fourier transform-based watermarking method with an optimal implementation radius," *Journal of Electron Imaging*, Vol. 20, No. 3, pp. 033008-033008, 2011.
- [26] K. Tanaka, Y. Nakmura and K. Matsui, "Embedding Secret Information into a Dithered Multi-Level Image," *IEE Military Communications Conference*, Vo1. 1, pp. 216-220, 1990.
- [27] Y. Guo, B. Zh. Li, N. Goel "Optimized blind image watermarking method based on firefly algorithm in DWT-QR transform domain," *IET Image Processing*, 2017.
- [28] A. Phadikar, S. P. Maity and B. Verma "Region based QIM digital watermarking scheme for image database in DCT domain," *Computer Electronic Engineering*, Vol. 37, pp. 339-355, 2011.
- [29] S. Afrakhteh, M. Mosavi, M. Khishe, A. Ayatollahi, "Accurate Classification of EEG Signals using Neural Networks Trained by Hybrid Population-physic-based Algorithm," *International Journal of Automation and Computing*, pp.1-15, 2018.
- [30] P. Fakhari, E. Vahedi and C. Lucas "Protecting patient privacy from unauthorized release of medical images using a bio-inspired wavelet-based watermarking approach," *Digital Signal Processing*, Vol. 21, pp. 433-446, 2011.